

3. Васильев А. С., Ильичев А. Ф., Казберук Е. Д., Цинобер А. Б. О возможности влияния слизи на гидродинамическое сопротивление рыб.— «Изв. АН СССР. МЖГ», 1975, № 1.
4. Меркулов В. И., Хотинская В. Д. Механизмы уменьшения гидродинамического сопротивления у некоторых видов рыб.— В кн.: Бионика, 1969.

УДК 532.529.5 : 532.574.8

## ДИАГНОСТИКА ОСНОВНЫХ ТУРБУЛЕНТНЫХ ХАРАКТЕРИСТИК ДВУХФАЗНЫХ ПОТОКОВ

*А. П. Бурдуков, О. Н. Кащинский, В. А. Малков, В. П. Однорал*  
(*Новосибирск*)

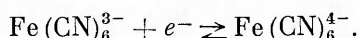
В настоящее время в области экспериментального исследования двухфазных газожидкостных потоков наметился переход от измерения осредненных характеристик (перепад давления, среднее газосодержание и средний коэффициент теплоотдачи) к детальному изучению турбулентной структуры течения. Интерес представляет определение локальных значений газосодержания, скоростей фаз, напряжения трения на стенке, а также пульсационных и спектральных характеристик.

К числу наиболее подробных исследований в этой области следует отнести появившиеся в последние годы работы [1—3], где приведены результаты измерений локального газосодержания и скоростей жидкости и газа, а также интенсивности пульсаций скорости. Основными применяемыми методиками являются термоанемометр, метод электропроводности и частично оптический зонд.

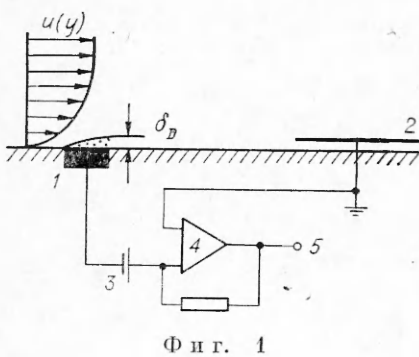
В течение ряда лет в Институте теплофизики СО АН СССР проводятся детальные исследования турбулентных характеристик газожидкостных потоков. В основу применяемых методик положена электрохимическая диагностика, которая дает возможность проводить измерение средних значений и пульсаций касательного напряжения на стенке, а также повысить разрешающую способность при измерении скорости фаз. Это позволяет существенно дополнить информацию, даваемую указанными выше методами, и получить более подробную картину течения.

В данной работе описывается методика определения основных характеристик газожидкостного потока.

**1. Касательное напряжение на стенке.** Электрохимический метод измерения касательного напряжения на стенке [4—6] заключается в следующем. В поток электролита специального состава помещаются два электрода: катод малого размера и анод. Катод служит датчиком касательного напряжения и представляет собой небольшой отрезок платиновой или никелевой проволочки или пластинки, заделанной заподлицо в стенку канала. При подаче напряжения на электродах начинает протекать быстрая электрохимическая реакция, в результате которой происходит поляризация катода. Для случая наиболее распространенного состава электролита, представляющего раствор  $10^{-3} N - 10^{-2} N$  ферри- и ферроцианида калия и 0,5—2 N едкого натра в дистиллированной воде, реакция имеет вид



В результате реакции концентрация ионов  $\text{Fe}(\text{CN})_6^{3-}$  на катоде становится равной нулю, и за счет разности концентраций между потоком и поверхностью катода возникает процесс диффузии ионов феррицианида к катоду.



Находящиеся в растворе в большом по сравнению с ионами ферри- и ферроцианида количестве ионы  $\text{Na}^+$  и  $\text{OH}^-$ , образующиеся при диссоциации едкого натра, создают высокую электропроводность раствора и исключают миграцию активных ионов под действием электрического поля. Площадь анода выбирается в несколько сот или тысяч раз больше площади катода, поэтому процесс диффузии ионов ферроцианида к аноду не оказывает влияния на процесс протекания тока. Таким образом, при указанных условиях величина тока в цепи определяется только диффузией ионов к катоду.

Принципиальная схема измерения напряжения трения приведена на фиг. 1. Заделанный в стенку катод 1 и анод 2 находятся в потоке жидкости с профилем скорости  $u(y)$ . На датчик подается постоянное напряжение с помощью источника 3, ток усиливается усилителем постоянного тока 4, сигнал с выхода усилителя 5 подается на измерительную схему. На катоде возникает диффузионный пограничный слой толщиной  $\delta_D$ , уравнение диффузии для которого имеет вид

$$(1.1) \quad \frac{dc}{dt} + u\frac{dc}{dx} + v\frac{dc}{dy} = D\frac{\partial^2 c}{\partial y^2},$$

где  $c$  — концентрация;  $t$  — время;  $x$  — продольная координата;  $y$  — координата, перпендикулярная к стенке;  $u$ ,  $v$  — составляющие скорости жидкости соответственно в направлении осей  $x$  и  $y$ ;  $D$  — коэффициент диффузии ионов ферроцианида. Концентрация активных ионов вне диффузионного пограничного слоя постоянна и равна  $c_0$ .

Вследствие малой подвижности ионов  $\text{Fe}(\text{CN})_6^{3-}$  число Шмидта для данной системы велико (порядка 1500), поэтому, а также из-за малых размеров катода толщина диффузионного слоя оказывается много меньше толщины вязкого подслоя, и в пределах диффузионного слоя можно считать профиль скорости линейным

$$u = y\tau/\mu,$$

где  $\tau$  — напряжение трения на стенке;  $\mu$  — вязкость. Если  $\tau$  не меняется во времени, (1.1) имеет при граничных условиях  $c = c_0$  при  $x = 0$ ,  $c = c_0$  при  $y = \infty$ ,  $c = 0$  при  $y = 0$ ,  $0 \leq x \leq l$  ( $l$  — размер датчика по потоку) стационарное решение, из которого можно определить диффузионный поток к поверхности электрода.

В критериальном виде связь между диффузионным потоком и касательным напряжением на стенке имеет вид [4]

$$(1.2) \quad kl/D = 0,807(\tau l^2/\mu D)^{1/3},$$

где  $k = I/SF c_0$  — коэффициент массоотдачи;  $I$  — ток датчика;  $S$  — площадь электрода;  $F$  — число Фарадея.

Если  $\tau$  непостоянно во времени, по записи диффузионного тока датчика можно определить мгновенное значение касательного напряжения на стенке. Вследствие малой подвижности активных ионов в общем случае необходимо принимать во внимание инерционность тока датчика по отношению к изменению напряжения трения. Из решения уравнения (1.1) при  $\tau = \bar{\tau} + \varepsilon \exp(i\omega t)$ , где  $\bar{\tau}$  — среднее по времени значение касатель-

ногого напряжения на стенке;  $\varepsilon$  и  $\omega$  — амплитуда и круговая частота пульсаций трения, определяется функция датчика  $H(\omega)$ , отражающая его амплитудно-частотную характеристику. Модуль этой функции имеет вид [7]

$$(1.3) \quad |H(\bar{\omega})|^2 = 1/\sqrt{(9 + 0,54\bar{\omega}^2)^2 + (0,027\bar{\omega}^3)^2},$$

где  $\bar{\omega} = \omega(\mu l^2/\tau^2 D)^{1/3}$ . Зная передаточную функцию, можно восстановить из спектральной плотности пульсаций тока  $S_I$  датчика спектральную плотность пульсаций трения  $S_\tau$  на стенке, пользуясь соотношением

$$S_\tau = S_I / |H(\bar{\omega})|^2.$$

Это позволяет определить среднеквадратичное значение интенсивности пульсаций трения.

Работа датчика трения в двухфазном потоке аналогична работе в однофазном потоке, поскольку во всех режимах течения на стенке существует пленка жидкости, достаточная для развития диффузационного слоя. Все приведенные выше соотношения оказываются поэтому применимыми и к измерениям в двухфазном потоке.

Для определения  $\tau$  из формулы (1.2) необходимо знать свойства жидкости (вязкость, коэффициент диффузии), размеры датчика и концентрацию активных ионов. Поскольку все эти величины известны с определенной погрешностью, суммарная ошибка в измерении может достигать 10—15 %. Поэтому целесообразно применять относительный вариант метода, переписав (1.2) в виде

$$\tau = AI^3,$$

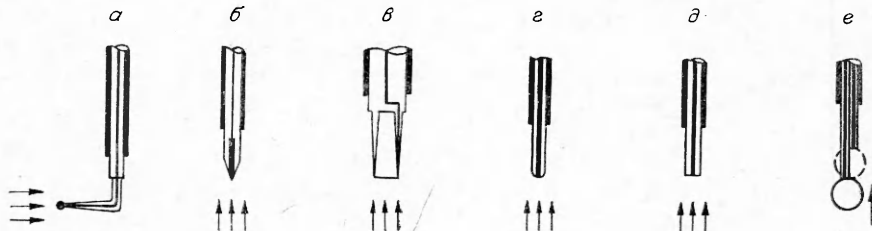
где  $A$  — коэффициент, определяемый при тарировке. Тарировку удобно проводить при течении в трубе однофазной жидкости, определяя коэффициент трения по известному расходу по формуле Гагена — Пуазейля для ламинарного режима или Блазиуса для турбулентного режима. При этом погрешность измерения  $\tau$  равна 3—5 %.

Передаточная функция вида (1.3) рассчитывается в предположении, что интенсивность пульсаций трения на стенке много меньше среднего значения. Это условие часто не выполняется в двухфазных потоках. Поэтому целесообразно проводить измерения в той полосе частот, когда  $H(\omega) \approx H(0)$  (полоса квазистационарности). Этого можно достичь, применяя датчики малых размеров. Авторами использовались датчики размером  $20 \times 200$  мкм. В этом случае реальный спектр энергосодержащих частот пульсаций трения вполне укладывается в полосу квазистационарности. Учет передаточной функции необходим только при измерении высокочастотной части спектра.

**2. Скорость жидкости.** Единственным применяемым в настоящее время методом определения локальной скорости жидкости в двухфазном потоке является метод термоанемометра постоянной температуры [1, 2]. В качестве датчика используется тонкая металлическая пленка, нанесенная на изолирующую подложку, обычно конической формы. В работе [2], например, размер датчика был равен 0,6 мм. Изготовить пленочный датчик существенно меньшего размера невозможно.

В ряде случаев, например при работе в потоках с мелкими пузырьками газа, а также при измерениях вблизи стенки, требуется использовать значительно более миниатюрные датчики. С этой целью авторами был применен электрохимический метод измерения скорости.

Принцип работы электрохимического датчика скорости такой же, как и датчика касательного напряжения на стенке. Электрод (катод)



Ф и г. 2

определенной конфигурации вводится в поток, на его поверхности происходит электрохимическая реакция. Процесс диффузии активных ионов к поверхности катода определяется скоростью течения жидкости в непосредственной близости от датчика.

На фиг. 2 приведены формы электрохимических датчиков скорости, применявшимися разными авторами: *а* — сферическая [8], *б* — коническая [9], *в* — типа проволочного термоанемометра [5], *г* — полусферическая [5, 10], *д* — типа «лобовая точка» [10, 11]. В двухфазных потоках, очевидно, предпочтительно применение последних двух типов, так как размеры их могут быть сделаны весьма малыми.

Решение уравнения диффузии с известным профилем скорости вблизи датчика дает связь между скоростью потока и током датчика. В криотермическом виде эта зависимость имеет вид [5, 12]

$$(2.1) \quad Nu_D = B Re^{1/2},$$

где  $Nu_D$  и  $Re$  — диффузионное число Нуссельта и число Рейнольдса, определяемые следующим образом:

$$Nu_D = Id/FS_c D, \quad Re = ud/v,$$

$d$  — характерный размер датчика. Коэффициент  $B$  зависит от формы электрода.

Поскольку для миниатюрного датчика трудно точно определить размер, целесообразно не применять соотношение (2.1), а строить зависимость  $I(u)$  (где  $I$  — ток датчика,  $u$  — скорость потока) в размерном виде для каждого датчика. Практически в общем случае целесообразнее применять следующее соотношение:

$$(2.2) \quad I = a + bu^{1/2},$$

где  $a$  и  $b$  — константы для определенного датчика. Отметим, что в отличие от аналогичных формул для термоанемометра показатель при скорости в (2.2) равен 0,5 во всех случаях.

При измерении высокочастотных пульсаций скорости следует учитывать амплитудно-частотную характеристику датчика. В работе [10] получена передаточная функция для датчика типа «лобовая точка»

$$|H(\omega)|^2 = \frac{0,25(1+0,0576\omega_*^2)}{1+0,331\omega_*^2+0,00249\omega_*^2Sc^{1/2}},$$

где  $\omega_* = \omega d/4k_1 u Sc^{1/3}$ ;  $Sc$  — число Шмидта; коэффициент  $k_1$  зависит от формы носовой части датчика. В частности, для полусферической формы  $k_1 = 2$ . При уменьшении размера датчика возрастает диапазон передаваемых без искажения частот. Как и при измерении касательного напряже-

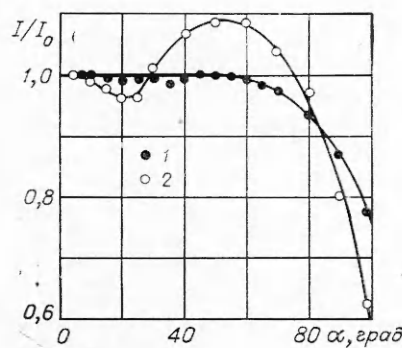
ния на стенке, при определении скорости в потоке с интенсивными пульсациями целесообразно работать в области квазистационарности, где  $H(\omega) \simeq H(0) = \text{const}$ .

В данной работе применялись датчики скорости типов  $\varepsilon$  и  $\partial$  (фиг. 2). Они были изготовлены путем вваривания платиновой проволоки диаметром 20 мкм в тонкий стеклянный капилляр. Диаметр стеклянной оболочки  $d$  на торце составлял 30—40 мкм. Для придания правильной формы датчику торец его притирался с помощью тонкой шлифовальной шкурки. Затем стеклянный капилляр согбася под углом 90°, и второй конец его вклеивался с помощью эпоксидной смолы в державку из нержавеющей стали диаметром 3 мм. При работе державка выполняла функцию анода.

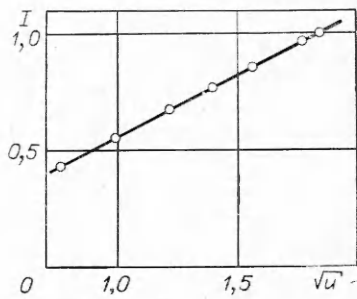
На фиг. 3 приведены угловые характеристики датчиков двух типов, полученные путем поворота их относительно направления потока ( $I_0$  — ток датчика, расположенного вдоль потока,  $\alpha$  — угол между осью датчика и направлением потока, 1 — датчик типа  $\varepsilon$ , 2 — датчик типа  $\partial$ ). Видно, что у датчика типа «лобовая точка» угловая характеристика немонотонная, имеет место подъем при некотором угле поворота, обусловленный, по-видимому, влиянием вихрей, срывающихся с острой кромки. По этой причине датчики этого типа при измерениях не использовались. Для датчика с полусферической формой носика ток не зависит от направления течения до угла поворота 60°. Таким образом, при оценке погрешности измеренных значений средней скорости и интенсивности продольной компоненты пульсаций скорость угловую характеристику можно считать постоянной.

Калибровка датчиков скорости проводилась на оси трубы при течении чистой жидкости. Значение скорости определялось с помощью трубки Пито. Поскольку на оси трубы интенсивность пульсаций скорости мала даже в турбулентном режиме, а также отсутствует градиент скорости, поправки к показаниям трубки Пито не требуется. Точность измерения скорости трубкой не хуже 1%. Калибровочная зависимость для электрохимического датчика скорости приведена на фиг. 4, она имеет вид (2.2), причем при  $u = 3,5$  м/с первый член в правой части (2.2) не превышает 5% от полного тока.

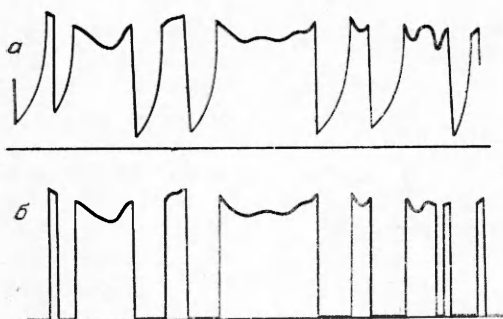
Рассмотрим работу датчика в двухфазном потоке. В тех случаях, когда газовая фаза является дискретной, цепь катод — электролит — анод замкнута, если датчик находится в жидкости. При этом ток датчика определяется полностью мгновенным значением скорости жидкости вблизи датчика. При вхождении датчика в газовую fazу цепь разрывается, и ток датчика падает. Практически падения тока до нуля не происходит, при переходе из жидкости в газ происходит падение сигнала датчика по экспо-



Фиг. 3



Фиг. 4



Фиг. 5

ненциональному закону. На фиг. 5, а приведена типичная осциллография тока датчика в двухфазном потоке (ось времени направлена справа налево). Видно, что переход границы раздела фаз очень четкий, это позволяет без труда отделить моменты нахождения датчика в жидкости. Поскольку размер датчика много меньше размера пузырей газа, можно считать, что датчик не деформирует границы раздела фаз. Используя

простую электронную аппаратуру, можно сформировать сигнал, показанный на фиг. 5, б: при нахождении датчика в жидкости сигнал остается неизменным, при вхождении его в газовую фазу сигнал падает до нуля. При соответствующей обработке такого сигнала можно получить характеристики жидкой фазы: среднюю скорость и среднеквадратичное значение пульсаций скорости.

**3. Измерение локального газосодержания.** Наиболее простым и широко распространенным методом определения локального газосодержания является метод электро проводности [13—16]. В поток помещаются два электрода, один из которых имеет очень малые размеры и представляет собой отрезок металлической проволоки, поверхность которой изолирована, за исключением небольшого участка на торце. Этот электрод находится попеременно то в жидкости, то в газовой фазе. При этом резко меняется электрическое сопротивление между двумя электродами, что и является индикацией наличия на датчике той или другой фазы. Между электродами подается напряжение и измеряется протекающий в цепи ток. Ток имеет два фиксированных значения: большее соответствует наличию на датчике жидкой фазы, меньшее — газовой.

При практической реализации данного метода необходимо учесть следующие обстоятельства, влияющие на точность измерения. Во-первых, на поверхности электрода могут происходить электрохимические процессы, приводящие к осаждению на поверхности датчика или же к ее эрозии, что вызывает изменение свойств датчика во времени. Во-вторых, необходимо учитывать гидродинамический процесс взаимодействия датчика с границей раздела фаз.

Для уменьшения влияния электрохимических процессов необходимо проводить измерения при малых значениях напряжения между электродами, поскольку при этом находящиеся в растворе ионы не участвуют в электрохимических процессах на электродах. При работе в растворе, состав которого указан в предыдущем пункте (необходимый для работы электрохимического метода), между электродами нельзя прикладывать напряжение выше 10—20 мВ, так как при больших значениях напряжения ток в цепи начнет зависеть от скорости жидкости вблизи электрода. Для регистрации тока необходимо в этом случае использовать усилитель. Питание датчика от источника постоянного напряжения, применявшееся во многих работах [13—15], оказывается затруднительным, поскольку к измерительной аппаратуре предъявляются очень жесткие требования. Более удобным является применение в качестве источника напряжения генератора напряжения синусоидальной или прямоугольной формы. При этом частота напряжения должна в несколько раз превосходить частоту процесса. В данной работе между электродами подавалось напря-

жение величиной 1—5 мВ с частотой 100—250 кГц. При этом емкостное сопротивление подводящих кабелей в несколько раз выше омического сопротивления между электродами, и в то же время измерительная аппаратура была очень простой.

Гидродинамика процесса взаимодействия датчика и газового пузырька является достаточно сложной. Реальная форма сигнала датчика приведена на фиг. 6, а,  $U$  — выходное напряжение усилителя, пропорциональное току датчика.

В момент  $A$  граница жидкость — газ пересекла бы чувствительный элемент датчика в отсутствие последнего. В действительности же за счет присутствия датчика поверхность раздела фаз деформируется, так что датчик пересекает границу раздела фаз в момент  $B$ . При этом на датчике остается пленка жидкости, которая постепенно становится тоньше и сопротивление ее увеличивается. За счет наличия пленки передний фронт сигнала не является идеальным. В момент  $C$  пленка исчезает, датчик находится в газовой фазе. В момент  $D$  датчик снова касается жидкости, и в течение некоторого промежутка времени  $DE$  ток его восстанавливается до значения  $U_1$ . Задний фронт оказывается значительно более крутым, чем передний. Поэтому описанный выше эффект приведет к занижению истинного времени пребывания датчика в газовой фазе, а следовательно, к заниженному значению газосодержания. С другой стороны, присутствие датчика приводит к некоторому «торможению» пузыря, что дает обратный вклад в измеренное газосодержание.

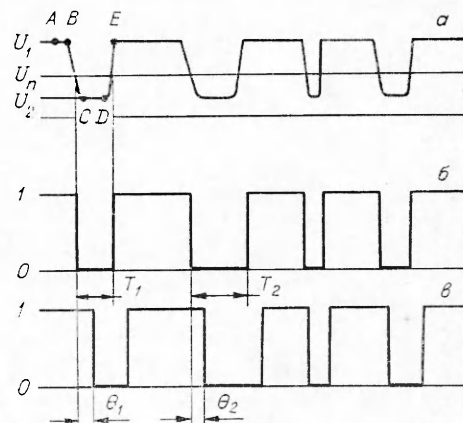
Важное значение имеет выбор величины порогового напряжения  $U_{\text{п}}$ , при котором производится «вырезание» сигнала. Когда  $U_{\text{п}}$  выбрано, из сигнала  $a$  формируется сигнал вида  $b$  с идеальными фронтами. Значение локального газосодержания  $\varphi$  определяется по формуле

$$(3.1) \quad \varphi = \sum T_i / T,$$

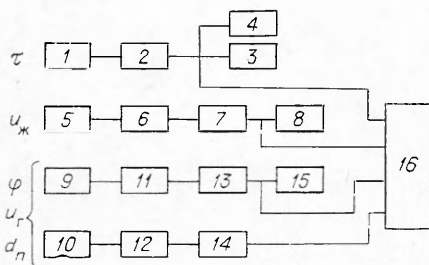
где  $T_i$  — время пребывания датчика в  $i$ -м газовом пузыре;  $T$  — полное время измерения. Время измерения  $T$  должно быть достаточно большим по сравнению с  $T_i$ .

Существуют несколько различных рекомендаций по выбору значения  $U_{\text{п}}$  [2, 15]. Наиболее тщательно этот вопрос исследован в работе [2], где проинтегрированное по сечению трубы значение газосодержания, полученное по (3.1), сравнивалось со значением среднего газосодержания, определенного методом гамма-просвечивания. Совпадение указанных величин составляло 3—5% при выборе значения  $U_{\text{п}} = (0,5—0,7)(U_1 - U_2) + U_2$ . По-видимому, целесообразнее выбирать  $U_{\text{п}}$  ближе к уровню жидкости, однако необходимо следить за тем, чтобы  $U_{\text{п}}$  было ниже уровня шумов, накладываемых на  $U_1$ .

**4. Измерение скорости газовой фазы.** Для измерения скорости газовой фазы используется двойной датчик электропроводности [2, 3, 13]. Если расположить два датчика, как показано на фиг. 2,  $e$ , то при работе в двухфазном потоке сигналы их будут иметь вид, приведенный на фиг. 6,  $b$ ,  $c$ : сигнал второго датчика смещен вправо относительно первого.



Фиг. 6



Фиг. 7

Времена  $\theta$  характеризуют время прохождения границы раздела фаз между торцами первого и второго датчиков. Скорость движения границы раздела фаз (отождествленная со скоростью движения пузыря газа) равна  $u_t = \Delta/\theta$ , где  $\Delta$  — расстояние между электродами двойного датчика. Путем соответствующего осреднения можно получить среднюю скорость газовой фазы.

Наиболее правильным было бы определять  $\theta$  как среднее время задержки

при прохождении переднего и заднего фронта пузыря. Однако на практике для простоты считают эти времена равными и определяют  $\theta$  по одному из фронтов, обычно по переднему. При этом предполагается, что взаимодействие границы раздела фаз с первым и вторым датчиками одинаково.

Накопление значений  $u_{ti}$ , соответствующих различным пузырям, позволяет получить, помимо средней скорости газовой фазы, также среднеквадратичное значение пульсаций и другие характеристики.

**5. Распределение пузырей по размерам.** Из записи сигнала датчика электропроводности, показанного на фиг. 6, б, в, можно получить также распределения  $\sigma(T_i)$  интервалов времени  $T_i$ , соответствующих нахождению датчика в газовой фазе. Из этого распределения можно определить функцию распределения  $P(D_1)$  для диаметров пузырей. Для этого необходимо сделать ряд предположений: а) все пузыри имеют сферическую форму; б) все пузыри имеют одинаковую скорость  $u_t$ ; в) распределение пузырей по размерам не зависит от координат в некоторой окрестности датчика. Соотношения, связывающие распределение  $P(D_1)$  и  $\sigma(T_i)$ , приведены в [2,3]. В работе [17] изложена методика определения размеров пузырей, не требующая принятия указанных выше допущений. Однако в этом случае применяется датчик из пяти электродов, имеющий размеры порядка 3 мм, что ограничивает возможность применения этого метода.

**6. Измерительная аппаратура.** Схема использованной в работе измерительной аппаратуры приведена на фиг. 7 (1, 5—датчик; 2, 6, 11, 12—усилитель; 9, 10—двойной датчик; 4—квадратичный вольтметр; 3, 8—интегратор; 7, 13, 14—формирователь; 15—частотометр; 16—ЭВМ).

Сигнал электрохимического датчика трения или скорости усиливается с помощью усилителя постоянного тока, имеющего пределы измерения от 0,1 до 100 мкА (при выходном напряжении 0—5 В) и полосу пропускания 0—100 кГц. Встроенный в усилитель источник питания позволяет выбирать нужный режим работы датчика. Усиленный сигнал датчика скорости проходил через формирователь, напряжение на выходе которого равнялось нулю в моменты нахождения датчика в газовой фазе. Для измерения среднего значения напряжений использовались цифровые интеграторы со временем интегрирования 100 с. Среднеквадратичный вольтметр использовался только в цепи датчика трения, поскольку сигнал его был непрерывным. При малых значениях интенсивности пульсаций значения  $\tau$  и  $u$  определялись с помощью аналоговой аппаратуры. Для определения средних значений напряжения трения и скорости жидкости  $u_k$  и среднеквадратичного значения интенсивности пульсаций трения при больших уровнях пульсаций, а также для измерения интенсивности пульсаций скорости обработка сигналов проводилась на ЭВМ «Урал 14».

Для измерения характеристик газовой фазы использовался одиночный или сдвоенный датчик электропроводности. Сигнал датчика усиливал-

ся с помощью усилителей, настроенных на частоту питающего напряжения. Затем происходило формирование из усиленных сигналов прямоугольных импульсов (см. фиг. 6, б), причем в формирователях можно было изменять пороговое значение напряжения. Измерение времени нахождения датчика в газовой фазе, а следовательно, и локального газосодержания производилось с помощью частотомера. Для определения распределений скоростей и размеров пузырей  $d_p$  производилось накопление и обработка сигнала с помощью ЭВМ.

*Поступила 24 VII 1978*

#### ЛИТЕРАТУРА

1. Serizawa A., Kataoka I., Michiyoshi I. Turbulence structure of air-water bubbly flow.—«Internat. J. Multiphase Flow», 1975, vol. 2, pt 1.
2. Galaup G. P. Contribution à l' étude des méthodes de mesure en écoulement diphasique. These, L' Université scientifique et Medicale de Grenoble, 1975.
3. Herringe R. A., Davis M. R. Structural development of gas — liquid mixture flows.—«J. Fluid Mech.», 1976, vol. 73, pt 1, p. 97—123.
4. Mitchell J., Hanratty T. J. A study of turbulence at a wall using an electrochemical wall shear stress meter.—«J. Fluid Mech.», 1966, vol. 26, pt 1.
5. Misushina T. The electrochemical method in transport phenomena.—In: Advances in Heat Transfer. Vol. 7. Ed. J. P. Harnett and T. F. Irvine. N. Y., Academic Press, 1971.
6. Кутателадзе С. С., Бурдуков А. П., Накоряков В. Е., Кузьмин В. А. Применение электрохимического метода измерения трения в гидродинамике двухфазных сред.—В кн.: Тепломассоперенос. Т. 2. Минск, «Наука и техника», 1968.
7. Боголюбов Ю. Е., Гешев П. И., Накоряков В. Е., Огородников И. А. Теория электродиффузионного метода измерений спектральных характеристик турбулентных потоков.—ПМТФ, 1972, № 4.
8. Нигматуллин Р. Ш., Габсалямов Г. Г. Электрохимический датчик скорости потока электропроводной жидкости.—«Приборы и системы управления», 1970, № 3.
9. Шульман З. П., Покрывайло Н. А., Соболевский А. С., Юшкина Т. В. Конвективный массообмен конуса и динамические характеристики электродиффузионного анемометра в потоке нелинейно-вязкой жидкости.—ИФЖ, 1976, т. 30, № 3.
10. Боголюбов Ю. Е., Смирнова Л. П. Массоотдача в окрестности лобовой точки в пузырьсирующем потоке.—«Изв. СО АН СССР. Сер. техн. наук», 1977, № 8, вып. 2.
11. Бурдуков А. П., Козьменко Б. К., Накоряков В. Е. Распределение профилей скорости жидкой фазы в газожидкостном потоке при малых газосодержаниях.—ПМТФ, 1975, № 6.
12. Matsuda H., Yamada J. Limiting diffusion currents in hydrodynamic voltammetry.—«Electroanalytical Chemistry and Interfacial Electrochemistry», 1971, vol. 30, p. 261.
13. Park W. H., Kang W. K., Capes C. E., Osberg G. L. The properties of bubbles in fluidising beds of conducting particles as measured by an electroresistivity probe.—«Chem. Eng. Sci.», 1969, vol. 24, N 5.
14. Neal L. C., Bankoff S. C. A high resolution resistivity probe for determination of local void properties in gas-liquid flow.—«AIChE J.», 1963, vol. 9, N 4.
15. Sekoguchi K., Fukui H., Matsuoka T., Nishikawa K. Investigation into the statistical characteristics of bubbles in two-phase flow.—«Bull. JSME», 1975, vol. 18, N 118.
16. Ибрагимов М. Х., Бобков В. П., Тычинский Н. А. Исследование поведения газовой фазы в турбулентном потоке смеси воды и газа в каналах.—ТВТ, 1973, т. 11, № 5.
17. Burgess J. M., Calderbank P. H. The measurement of bubble parameters in two-phase dispersions.—«Chem. Engng Sci.», 1975, vol. 30, p. 743.